

ارایه یک مدل دو بعدی برای توزیع ناخالصی محلول در مولد بخار PGV-1000

منصور خانکی*

قزوین، دانشگاه بین‌المللی امام خمینی (ره)، دانشکده مهندسی، بخش مهندسی مکانیک

چکیده: در این تحقیق، نحوه توزیع ناخالصی محلول در یک مولد بخار PGV-1000 بررسی و تحلیل شده است. مولد بخار PGV-1000، از انواع افقی مولدهای بخار بوده و با توان حرارتی ۷۵۰ مگاوات ۱۴۶۷ تن بخار در ساعت تولید می‌کند. در این مقاله، یک مدل دو بعدی برای مطالعه توزیع ناخالصی محلول در این مولد بخار ارایه می‌شود. مدل پیشنهادی می‌تواند توزیع ناخالصی در طول مولد بخار را با خطای متوسط حدود ۱۳ درصد حداقل ناخالصی محلول در مولد بخار پیش‌بینی کند. برای توزیع ناخالصی در عرض مولد بخار خطای بالا حدود ۳۵ درصد حداقل ناخالصی محلول است. به کمک این مدل در رژیم‌های متفاوت، نحوه تغذیه آب مولد بخار و نحوه اخذ بلور داون (زیرآب) بررسی می‌شود. نتیجه‌ی محاسبه‌های به عمل آمده نشان دهنده‌ی این موضوع است که می‌توان متوسط ناخالصی محلول در مولد بخار PGV-1000 را به میزان قابل توجهی کاهش داد. نتیجه‌ها نشان می‌دهد که در طرح استاندارد توزیع آب تغذیه و زیرآب می‌توان حداقل ناخالصی محلول در مولد بخار PGV-1000 از ۲۷۰ برابر ناخالصی موجود در آب تغذیه به ۱۱۰ و متوسط ناخالصی محلول را از حدود ۱۰۰ به حدود ۲۵ کاهش داد. همچنین در طرح بهینه شده سیستم توزیع آب تغذیه و زیرآب مولد بخار یاد شده با اصلاح نحوه توزیع آب تغذیه، بر اساس نتیجه‌ی محاسبه‌ها، می‌توان مقدار متوسط ناخالصی محلول در مولد بخار را تا حدود ۴۰ درصد کاهش داد.

واژه‌های کلیدی: PGV-1000، شبیه سازی کامپیوتری، دیگ بخار، مولد بخار افقی، آب تغذیه، توزیع ناخالصی محلول.

KEY WORDS: PGV-1000, Computer simulation, Boiler, Horizontal steam generator, Feed water, Soluble impurity distribution.

مقدمه

چه در نیروگاه‌های حرارتی با سوخت فسیلی و چه نیروگاه‌های حرارتی با سوخت هسته‌ای آب سبک، ضربی اطمینان عملکرد نیروگاه تا حد قابل توجهی وابسته به سازماندهی مناسب رژیم آب دیگ‌ها و مولدهای بخار آنهاست. در چرخه آب نیروگاه‌ها همواره ناخالصی به روش‌های متفاوت ناشی از نفوذ آب آلوده و

به طور عمده تولید انرژی الکتریکی در دنیا بر نیروگاه‌های حرارتی با سوخت فسیلی و یا سوخت هسته‌ای استوار است. نه تنها افزایش تولید انرژی الکتریکی و بازدهی مهم‌ترین هدف و دستاورد این صنعت بوده، بلکه ضربی اطمینان در بهره‌برداری این نیروگاه‌ها نیز همواره از چالش‌های مهم این صنعت محسوب شده است.

*E-mail: khanaki@ikiu.ac.ir

** عهده دار مکاتبات

معرفی مولد بخار PGV-۱۰۰۰

در مدار اول نیروگاه نوع VVER-۱۰۰۰ چهار مولد بخار PGV-۱۰۰۰ وجود دارد. آب گرم تولید شده در راکتور به وسیله‌ی ۴ مولد بخار، بخار لازم برای کارکرد توربین‌ها را تأمین می‌کند. در شکل ۱ و جدول ۱ مشخصات این مولد بخار ارایه شده است [۱۳]. به جهت یکنواخت کردن بار بخار در مولد یک صفحه مشبک در روی سطح آب قرار دارد که بخشی از آب با دینامیک جریان روی صفحه منتقل شده و از جوانب صفحه مشبک در اطراف به حجم مولد بخار بر می‌گردد.

فرضیه‌های به عمل آمده

- ۱- دمای آب در طی مسیر از کلکتور گرم تا کلکتور سرد به طور خطی کاهش می‌یابد.
- ۲- تولید بخار متناسب با تفاوت دمای آب گرم داخل لوله و آب اشباع داخل مولد بخار است.
- ۳- جریان آب در مولد بخار دو بعدی است.
- ۴- انتقال آب مولد به همراه بخار تولید شده به روی صفحه مشبک متناسب با بخار تولید شده است.
- ۵- آب منتقل شده به روی صفحه سوراخ‌دار (مشبک) باهم مخلوط شده و دارای یک ناچالصی محلول یکسان هستند. و با شدت یکسان از نواحی کناری صفحه مشبک به داخل مولد بخار برگردانده می‌شود.
- ۶- مقدار بخار تولید شده در نواحی مجاور دیواره‌ها صفر است و مقدار بخار تولیدی با عرض کanal به تدریج افزایش یافته و در وسط به بیشترین مقدار خود می‌رسد.
- ۷- به علت ناچیز بودن و مشخص نبودن از اثر رسوب در بالاتس ناچالصی محلول صرف نظر می‌شود.

معادله‌ی بقای جرم با وجود چشممه در دو بعد

معادله‌ی بقای جرم در حجم کنترل (دو بعدی) را در نظر می‌گیریم:

$$\frac{\partial \rho}{\partial t} + \frac{\partial \rho v_x}{\partial x} + \frac{\partial \rho v_y}{\partial y} = 0 \quad (1)$$

با وجود چشممه با شدت $c(x,y)$ بر واحد حجم، معادله‌ی بقای جرم به این صورت نوشته می‌شود:

(۱) Blow down

خوردگی‌های مربوط به اجزاء به چرخه وارد می‌شوند. وجود این ناچالصی‌ها در آب ضمن ایجاد رسوب در سطوح حرارتی در نهایت سبب کاهش انتقال حرارت، افزایش دما و تخریب سطوح می‌شود. روش کنترل ناچالصی از طریق زیر آب^(۱) از دیر باز مورد استفاده بوده است. در خصوص کنترل رژیم دیگرها بخار دارای درام (که بخش قابل توجهی از نیروگاه‌ها را تشکیل می‌دهد) در سال ۱۹۳۸ میلادی رم [۱] رساله‌ی خود را در تبخیر مرحله‌ای منتشر کرد. پژوهشگران دیگری به کنترل ناچالصی و ساماندهی رژیم آب در نیروگاه‌ها توجه کرده‌اند [۲-۶].

با شروع به کار نیروگاه‌های اتمی، موضوع رژیم آب این نیروگاه‌ها در کنترل ناچالصی و ایجاد رسوب در مولدات بخار و راکتورها که می‌توانست ماهیت رادیو اکتیو داشته باشد نیز مورد توجه قرار گرفت [۷-۹]. نیروگاه‌های PWR هستند، و در بوشهر یکی از این نیروگاه‌ها در حال نصب است. مولدات بخار نوع PGV-۱۰۰۰ حلقه ارتباط مدار اول و دوم در این نوع نیروگاه است. چهار مولد بخار موجود در ترکیب نیروگاه یاد شده قرار دارند که هر کدام ۷۵۰ مگاوات توان حرارتی داشته و ۱۴۶۷ تن بخار در ساعت تولید می‌کنند. ویژگی افقی بودن مولدات بخار نوع PGV-۱۰۰۰ و متغیر بودن نرخ تولید بخار در واحد حجم مولد ویژگی جدیدی بود که با تولید بخار در درام نیروگاه‌های بخاری متفاوت بود، لذا طبیعت سه بعدی این تغییرها سبب انجام فعالیت‌های پژوهشی بیشتری در این زمینه شد. در جهت بهبود توزیع ناچالصی محلول در این نوع مولد بخار و به کارگیری ایده آقای رم، بهینه کردن رژیم آب این نوع مولد بخار [۱۰] مورد توجه قرار گرفته است. ارایه تجربیات مدل‌سازی یک بعدی رژیم آب در کارهای گوریارف و بهبود رژیم آب واحدهای جوششی در نیروگاه‌های اتمی و متعارف ارایه شده‌اند [۱۱ و ۱۲].

مدل ریاضی مناسب و حل کامپیوتری آن می‌تواند به عنوان شیوه‌ای کارا در پیش‌بینی نحوه توزیع ناچالصی محلول با توجه به توزیع آب تعذیه و نحوه برداشت زیرآب مورد توجه قرار گیرد. مدل یک بعدی برای تحلیل ناچالصی محلول در احجام جوششی در پیش مورد بررسی قرار گرفته است [۱۲]. با توجه به نحوه تولید بخار در حجم مولد بخار PGV-۱۰۰۰ مدل دو بعدی می‌تواند کارایی مناسب‌تری در بررسی و تحلیل و پیش‌بینی نحوه توزیع ناچالصی محلول در مولد بخار داشته باشد.

$$\frac{\partial \rho}{\partial t} + \frac{\partial \rho v_x}{\partial x} + \frac{\partial \rho v_y}{\partial y} - \rho c = 0 \quad (2)$$

در حالت پایدار:

$$\frac{\partial v_x}{\partial x} + \frac{\partial v_y}{\partial y} - c = 0 \quad (3)$$

با فرض وجود تابع جریان $\varphi(x,y)$ که به صورت زیر تعریف می شود:

$$\frac{\partial \varphi}{\partial x} = v_x \quad ; \quad \frac{\partial \varphi}{\partial y} = v_y \quad (4)$$

معادله بقای جرم به صورت زیر در می آید:

$$\frac{\partial^2 \varphi}{\partial x^2} + \frac{\partial^2 \varphi}{\partial y^2} - c = 0 \quad (5)$$

این معادله با توجه به شرایط مرزی و تابع شدت چشممه به صورت عددی حل می شود.

حل عددی معادله دیفرانسیلی تابع جریان

برای گره m,n معادله فوق به صورت زیر می تواند نوشته شود
(شکل ۲) [۱۴]:

$$\begin{aligned} \frac{\partial^2 \varphi}{\partial x^2} &\approx \frac{\varphi_{i+1,j} + \varphi_{i-1,j} - 2\varphi_{i,j}}{\Delta x^2} \\ \frac{\partial^2 \varphi}{\partial y^2} &\approx \frac{\varphi_{i,j+1} + \varphi_{i,j-1} - 2\varphi_{i,j}}{\Delta y^2} \\ \frac{\varphi_{i+1,j} + \varphi_{i-1,j} - 2\varphi_{i,j}}{\Delta x^2} + \frac{\varphi_{i,j+1} + \varphi_{i,j-1} - 2\varphi_{i,j}}{\Delta y^2} - c_{i,j} &= 0 \end{aligned} \quad (6)$$

از مرز بالایی جرمی عبور نمی کند، بنابراین برای گره واقع در مرز بالایی سرعت صفر است و از آنجا φ در دو طرف مرز یکسان است، در نتیجه می توان معادله های بقا را به صورت زیر به دست آورد (شکل ۳):

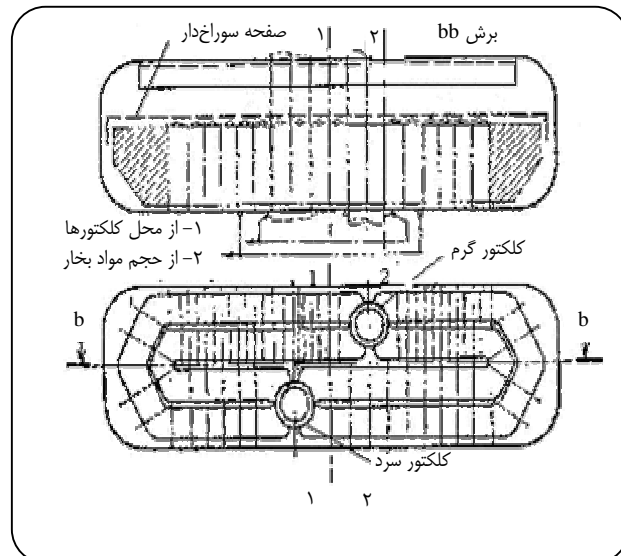
$$\begin{aligned} \frac{\partial^2 \varphi}{\partial x^2} &\approx \frac{\varphi_{i+1,j} + \varphi_{i-1,j} - 2\varphi_{i,j}}{\Delta x^2} \\ \frac{\partial^2 \varphi}{\partial y^2} &\approx \frac{2\varphi_{i,j-1} - 2\varphi_{i,j}}{\Delta y^2} \\ \frac{\varphi_{i+1,j} + \varphi_{i-1,j} - 2\varphi_{i,j}}{\Delta x^2} + \frac{2\varphi_{i,j-1} - 2\varphi_{i,j}}{\Delta y^2} - c_{i,j} &\approx 0 \end{aligned} \quad (7)$$

و به همین ترتیب برای گره های واقع در مرز راست:

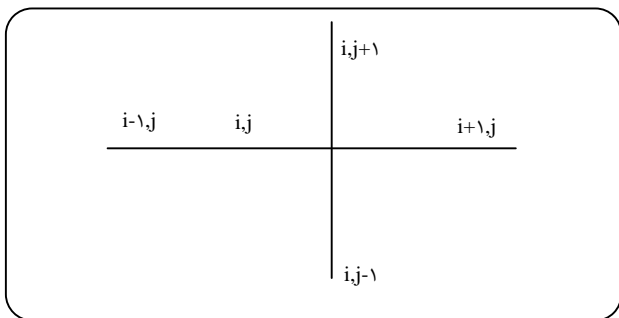
$$\frac{2\varphi_{i-1,j} - 2\varphi_{i,j}}{\Delta x^2} + \frac{\varphi_{i,j+1} + \varphi_{i,j-1} - 2\varphi_{i,j}}{\Delta y^2} - c_{i,j} = 0 \quad (8)$$

جدول ۱- ویژگی های مولد بخار PGV-1000

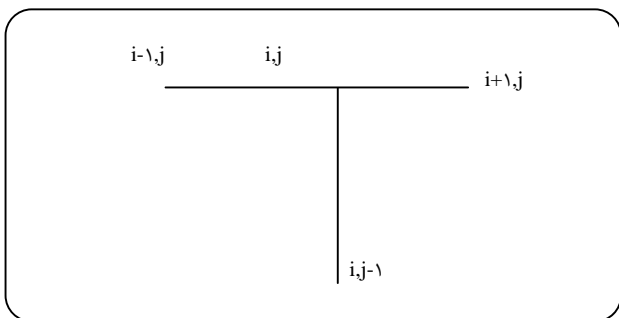
قدرت حرارتی	۷۴۹,۳ مگاوات
ظرفیت اسمی تولید بخار	۱۴۶۹ تن در ساعت
فشار بخار	۶,۴۸ مگاپاسکال
درجه حرارت بخار تولیدی	۲۷۸,۵ درجه سانتی گراد
درجه حرارت آب تغذیه	۲۲۰ درجه سانتی گراد
دبی آب گرم ورودی از راکتور	۱۴۴۰۰ تن در ساعت
فشار آب گرم ورودی	۱۵,۷ مگاپاسکال
دمای آب ورودی (از کلکتور گرم)	۳۲۲ درجه سانتی گراد
دمای آب خروجی (از کلکتور سرد)	۲۸۹ درجه سانتی گراد
سطح انتقال حرارت	۴۰,۷۲ مترمربع
Roberto بخار خروجی	۰,۰۵ درصد
مقدار زیرآب اسمی	۷/۳ تن در ساعت
طول مولد بخار	۱۴,۵ متر
قطر مولد بخار	۴ متر
توزیع آب تغذیه (طرح استاندارد)	متقارن از ۱۶ لوله توزیع کننده
فاصله کلکتورها از محور تقارن	۱۱۵۰ میلی متر
فاصله محل زیرآب از کلکتورها	۱۶۰۰ میلی متر



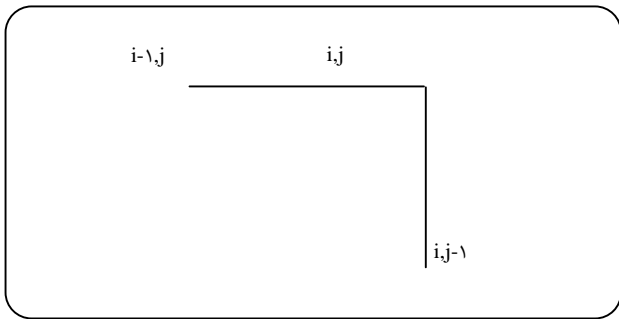
شکل ۱- مولد بخار PGV-1000، در طرح استاندارد دبی زیرآب ۷/۳ تن در ساعت است که ۵ تن در ساعت آن از محل پیش بینی شده (حجم مولد بخار) و بقیه از محل کلکتورها در مولد بخار گرفته می شود.



شکل ۲- موقعیت گره‌های داخلی.



شکل ۳- موقعیت گره در مرز بالایی.



شکل ۴- موقعیت گره واقع در کنچ.

نرخ ناچالصی خروجی به وسیله‌ی زیرآب:

$$\dot{m}_p s \Delta x \Delta y \quad (16)$$

نرخ ناچالصی خروجی به وسیله‌ی رطوبت محمول بخار:

$$w \dot{m}_v s \Delta x \Delta y \quad (17)$$

نرخ ناچالصی خروجی به وسیله‌ی محلول در بخار:

$$k \dot{m}_v s \Delta x \Delta y \quad (18)$$

نرخ ناچالصی خروجی به وسیله‌ی صفحه مشبک:

$$k c \dot{m}_v s \Delta x \Delta y \quad (19)$$

و برای کنچ معادله‌ی بقا به صورت زیر در می‌آید (شکل ۴):

$$\frac{2\varphi_{i-1,j} - 2\varphi_{i,j} + 2\varphi_{i,j-1} - 2\varphi_{i,j}}{\Delta x^2} - c_{i,j} = 0 \quad (9)$$

معادله‌های بقا با توجه به مشخص بودن تابع شدت چشمی برای همه گره‌ها به وسیله‌ی روش‌های متعارف عددی قابل حل هستند.

معادله‌ی بالанс ناچالصی محلول

در شرایط پایدار نمک محلول ورودی و خروجی به حجم مورد بررسی باید برابر باشند. با عنایت به این موضوع معادله‌ی بقای ناچالصی محلول را می‌توان به دست آورد.

نرخ ناچالصی محلول ورودی از وجه $x - \Delta x/2$

$$\rho v_x s \Delta y - \left(\frac{\partial}{\partial x} \rho v_x s \Delta y \right) \frac{\Delta x}{2} \quad (10)$$

نرخ ناچالصی محلول ورودی از وجه $y - \Delta y/2$

$$\rho v_y s \Delta x - \left(\frac{\partial}{\partial y} \rho v_y s \Delta x \right) \frac{\Delta y}{2} \quad (11)$$

نرخ ناچالصی محلول خروجی از وجه $x + \Delta x/2$

$$\rho v_x s \Delta y + \left(\frac{\partial}{\partial x} \rho v_x s \Delta y \right) \frac{\Delta x}{2} \quad (12)$$

نرخ ناچالصی محلول خروجی از وجه $y + \Delta y/2$

$$\rho v_y s \Delta x + \left(\frac{\partial}{\partial y} \rho v_y s \Delta x \right) \frac{\Delta y}{2} \quad (13)$$

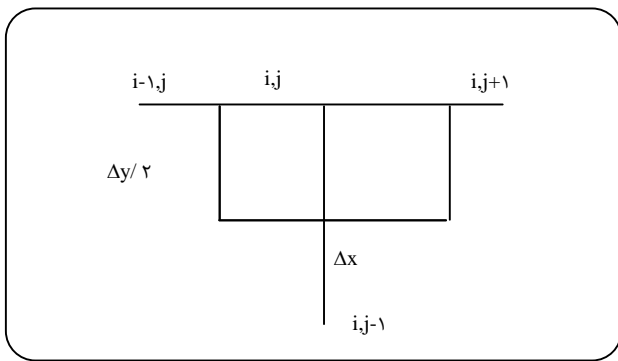
با توجه به وجود ناچالصی‌های محلول ورودی به وسیله‌ی آب تغذیه، سرریز صفحه مشبک و ناچالصی‌های خروجی به وسیله‌ی آب زیرآب، رطوبت محمول بخار، محلول در بخار، منتقل شده به روی صفحه مشبک و رسوب گذاری روی سطوح این موارد همانند چشمی کنند که به صورت زیر در نظر گرفته می‌شوند:

نرخ ناچالصی ورودی به وسیله‌ی آب تغذیه:

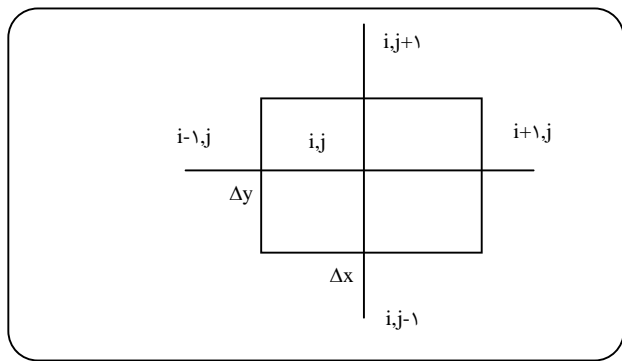
$$\dot{m}_{pv} s_{pv} \Delta x \Delta y \quad (14)$$

نرخ ناچالصی ورودی از جریان سرریز صفحه مشبک (که فقط برای المان‌های کناری مولد بخار در نظر گرفته می‌شود):

$$\dot{m}_{av} s_{av} \Delta x \Delta y \quad (15)$$



شکل ۶ - موقعیت و عالیم یک گره در موز.



شکل ۵ - موقعیت و عالیم یک گره داخلی.

و به ترتیب مشابه برای $\frac{\partial sv_x}{\partial y}$ خواهیم داشت:

$$\frac{\partial sv_y}{\partial y} \approx \frac{s_{i,j}}{\Delta y} \left(\frac{\varphi_{i,j+1} - \varphi_{i,j}}{\Delta y} \right) - \frac{s_{i,j-1}}{\Delta y} \left(\frac{\varphi_{i,j} - \varphi_{i,j-1}}{\Delta y} \right) \quad (23)$$

در نتیجه معادله بالانس ناچالصی را می‌توان به صورت زیر نوشت:

$$\begin{aligned} & \left(s_{i,j} \frac{\varphi_{i+1,j} - \varphi_{i,j}}{\Delta x} - s_{i-1,j} \frac{\varphi_{i,j} - \varphi_{i-1,j}}{\Delta x} \right) + \\ & \left(s_{i,j} \frac{\varphi_{i,j+1} - \varphi_{i,j}}{\Delta y} - s_{i,j-1} \frac{\varphi_{i,j} - \varphi_{i,j-1}}{\Delta y} \right) \\ & - \dot{m}_{pv} s_{pv} - \dot{m}_{av} s_{av} + (\dot{m}_p + w\dot{m}_v + k\dot{m}_v + kcm_v) s_{i,j} + \dot{m}_r \approx 0 \end{aligned} \quad (24)$$

لازم به ذکر است بسته به علامت سرعت‌ها، عبارت‌های داخل پرانتزها باید اصلاح شوند. در عبارت بالا فرض شده که جهت‌ها مشابه عالیمی است که در شکل ۵ نشان داده شده است.

معادله بالانس ناچالصی محلول برای المان‌هایی که یک طرف آن جدار مولد بخار است، با توجه عدم وجود جرم عبوری از مرز جامد، و بنابر این صفر بودن سرعت در این مرز منتج به برابری φ در دو طرف این مرز می‌شود و در نتیجه پس از اصلاح لازم و عنایت به ابعاد المان (شکل ۶) معادله بالانس ناچالصی محلول به صورت زیر نوشه شود:

$$\begin{aligned} & \left(s_{i,j} \frac{\varphi_{i+1,j} - \varphi_{i,j}}{\Delta x} - s_{i-1,j} \frac{\varphi_{i,j} - \varphi_{i-1,j}}{\Delta x} \right) + \\ & \left(-2s_{i,j-1} \frac{\varphi_{i,j} - \varphi_{i,j-1}}{\Delta y} \right) + \\ & - \dot{m}_{pv} s_{pv} - \dot{m}_{av} s_{av} + (\dot{m}_p + w\dot{m}_v + k\dot{m}_v + kcm_v) s_{i,j} + \dot{m}_r \approx 0 \end{aligned} \quad (25)$$

نرخ رسوب گذاری روی سطوح حرارتی:

$$\dot{m}_r \Delta x \Delta y \quad (20)$$

معادله بالانس ناچالصی محلول با برابری ناچالصی‌های محلول ورودی و ناچالصی‌های محلول خروجی به دست می‌آید. شکل نهایی معادله به صورت زیر است:

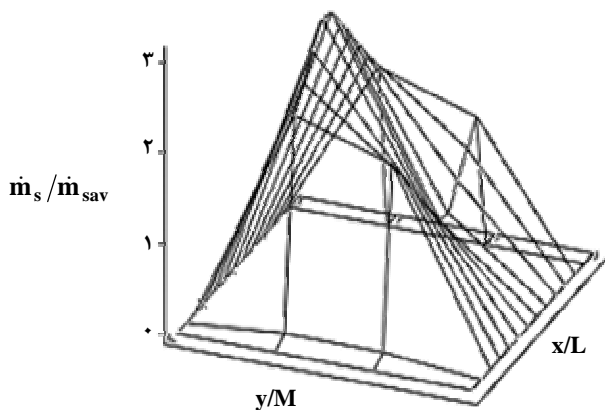
$$\begin{aligned} & \frac{\partial \rho v_x s}{\partial x} + \frac{\partial \rho v_y s}{\partial y} - \dot{m}_{pv} s_{pv} - \dot{m}_{av} s_{av} + \\ & (\dot{m}_p + w\dot{m}_v + k\dot{m}_v + kcm_v) s + \dot{m}_r = 0 \end{aligned} \quad (21)$$

در معادله بالا دو جمله اول نشان دهنده ناچالصی انتقالی به حجم کنترل و دو جمله بعدی مربوط به ناچالصی ورودی به حجم کنترل از طریق چشممه‌ها و جمله‌های بعدی میان ناچالصی خروجی از حجم کنترل است.

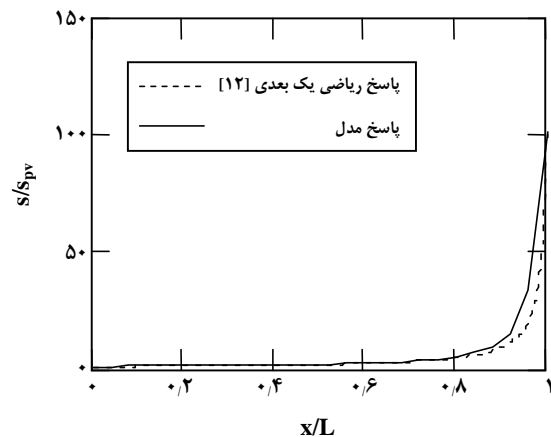
حل عددی معادله بالانس ناچالصی محلول

با توجه به علامت گذاری در شکل ۵ برای بالانس ناچالصی محلول، با فرض ثابت بودن چگالی و تعریف φ می‌توان نوشت:

$$\begin{aligned} \frac{\partial sv_x}{\partial x} & \approx \frac{sv|_{i+\frac{1}{r},j} - sv|_{i-\frac{1}{r},j}}{\Delta x} \\ \frac{\partial sv_x}{\partial x} & \approx \frac{sv|_{i+\frac{1}{r},j} - sv|_{i-\frac{1}{r},j}}{\Delta x} \\ v|_{i+\frac{1}{r},j} & = \left(\frac{\varphi_{i+1,j} - \varphi_{i,j}}{\Delta x} \right) \\ v|_{i-\frac{1}{r},j} & = \left(\frac{\varphi_{i,j} - \varphi_{i-1,j}}{\Delta x} \right) \\ \frac{\partial sv_x}{\partial x} & \approx \frac{s_{i,j}}{\Delta x} \left(\frac{\varphi_{i+1,j} - \varphi_{i,j}}{\Delta x} \right) - \frac{s_{i-1,j}}{\Delta x} \left(\frac{\varphi_{i,j} - \varphi_{i-1,j}}{\Delta x} \right) \end{aligned} \quad (22)$$



شکل ۸- نمودارشدت نسبی تولید بخار بر واحد سطح.



شکل ۷- مقایسه پاسخ ریاضی و مدل پیشنهادی.

$$\frac{m_w(x)}{m_{pv}} = 1 + p - \frac{x}{L} \quad (27)$$

$$\frac{s(x)}{s_{pv}} = \frac{1 + p}{1 + p - \frac{x}{L}} \quad (28)$$

در معادله (۲۷) $m_w(x)$ دبی عبوری از هر مقطع کanal و m_{pv} آب تغذیه وارد شده در ابتدای کanal است.

در شکل ۷ منحنی تغییرهای ناخالصی محلول در طول مولد بخار با استفاده از معادله‌های بالا و مدل پیشنهادی با تقسیم طول مولد به ۱۰۰ قسمت ارایه شده‌اند. نتیجه‌ها با دقت خوبی با پاسخ ریاضی تطبیق دارند. نتیجه‌ها نشان می‌دهد حداقل ناخالصی در انتهای مولد بخار با پاسخ ریاضی و مدل عددی برابر ۱۰۱ برابر ناخالصی محلول در آب ورودی و میزان متوسط ناخالصی در پاسخ ریاضی برابر ۴۶۶۱ و در مورد مدل عددی ۵/۵۴۶ برابر ناخالصی آب تغذیه است که با افزایش تعداد تقسیمات نتیجه‌های مدل عددی به پاسخ ریاضی نزدیک‌تر می‌شود. محاسبه‌ها نشان می‌دهد که متوسط خطأ در حد $0/3$ درصد حداقل ناخالصی محلول در مولد بخار است.

ارزیابی مدل در شرایط دو بعدی دشوارتر است، زیرا اطلاعات محدود هستند. بر اساس فرضیه‌های به عمل آمده شدت تولید بخار تابع دو بعدی از طول و عرض مولد بخار است. نحوه توزیع تولید بخار در مولد در شکل ۸ نشان داده شده است. x نماینده طول، y نماینده بخار و محور عمودی نماینده نسبت شدت بخار تولیدی در یک قسمت نسبت به شدت متوسط بخار تولیدی می‌باشد. توزیع آب تغذیه نیز در طرح استاندارد در سطح مولد بخار

و برای کنج از دو وجه از چهار وجه جرمی عبور نمی‌کند. در نتیجه معادله بالانس ناخالصی محلول برای کنج به صورت زیر به دست می‌آید:

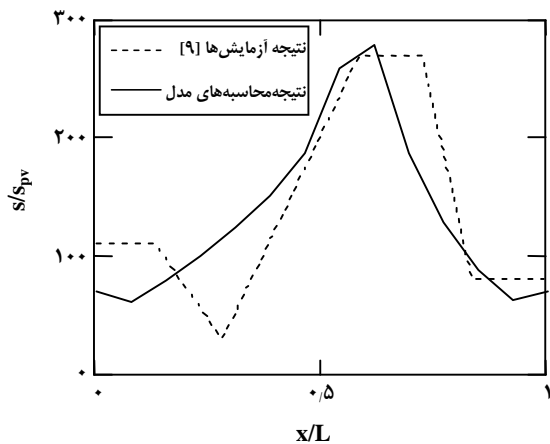
$$\left(-2s_{i-1,j} \frac{\varphi_{i,j} - \varphi_{i-1,j}}{\Delta x} \right) + \left(-2s_{i,j-1} \frac{\varphi_{i,j} - \varphi_{i,j-1}}{\Delta y} \right) - \frac{\dot{m}_{pv}s_{pv} - \dot{m}_{av}s_{av} + (\dot{m}_p + w\dot{m}_v + k\dot{m}_v + kcm_v)s_{i,j} + \dot{m}_r}{\rho} \approx 0 \quad (26)$$

به این ترتیب، پس از بدست آوردن مقدارهای φ معادله‌های بالانس ناخالصی محلول برای کلیه المان‌ها با توجه به جهت سرعت برای هر المان نوشته شده و برای یافتن مقدارهای ناخالصی محلول با هم حل می‌شوند.

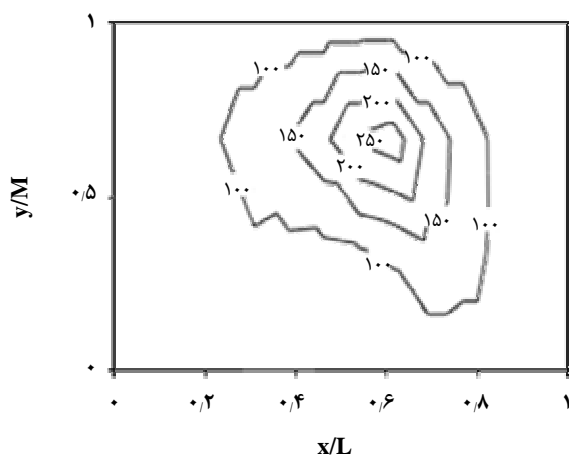
نتیجه‌ها و بحث ارزیابی مدل ارایه شده

هرچند معادله ارایه شده دو بعدی است و لیکن می‌توان این مدل را در شرایط یک بعدی که پاسخ آن موجود است مورد ارزیابی قرار داد.

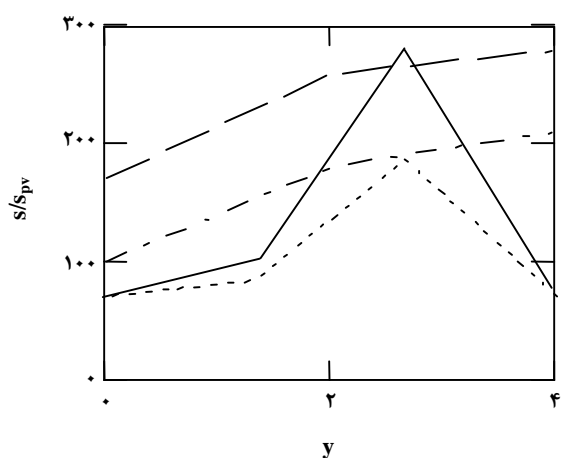
برای یک کanal یک بعدی با نرخ تولید ثابت بخار در طول، و تغذیه آب در ابتدای کanal و تخلیه زیرآب از انتهای دیگر و صرفنظر از رطوبت انتقالی به وسیله‌ی بخار و رسوب ایجاد شده، می‌توان توزیع ناخالصی محلول در کanal را به طور دقیق با رابطه‌های ریاضی بدست آورد. در مرجع [۱۲] نشان داده شده است که جرم عبوری از هر مقطع کanal از معادله (۲۷) و توزیع ناخالصی محلول در طول کanal از معادله (۲۸) به این صورت بدست می‌آیند [۱۲]:



شکل ۹- مقایسه ناخالصی محلول در مولد بخار در طرح استاندارد.



شکل ۱۰- نتیجه دوبعدی محاسبه های ناخالصی محلول در مولد بخار.

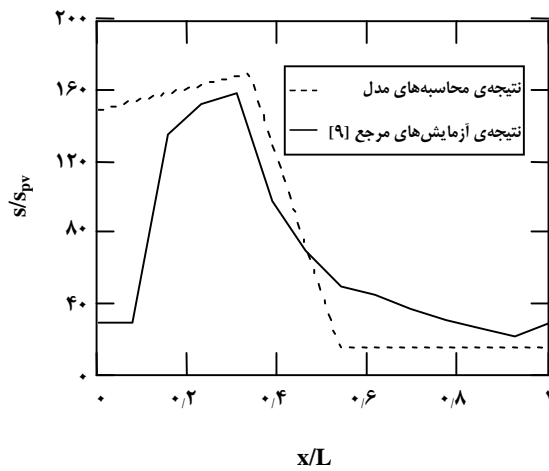


شکل ۱۱- تغییرهای عرضی ناخالصی محلول در مولد بخار.

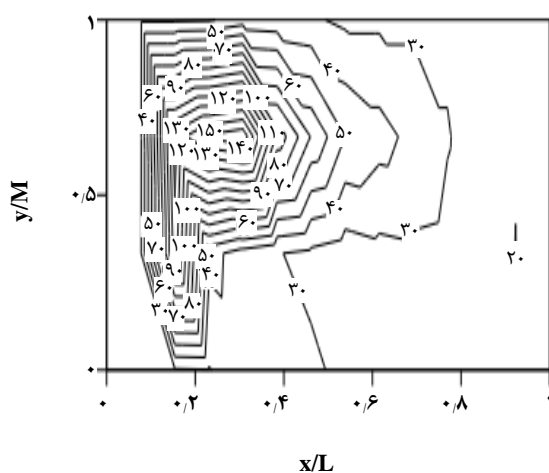
یکنواخت و متقارن است. زیرآب در این طرح از ۴ ناحیه (۲/۵ تن در ساعت از محل قرار گرفتن کلکتورهای گرم و سرد و ۵ تن در ساعت از دو محل پیش‌بینی شده برای زیرآب) گرفته می‌شود. نتیجه‌های پاسخ مدل عددی با توزیع ناخالصی محلول در مولد بخار PGV-1000 در طرح استاندارد آن [۹] شکل‌های ۹ تا ۱۱ ارایه شده است.

برای مقایسه‌ی نتیجه‌های مدل ارایه شده با نتیجه‌های حاصل از آزمایش‌ها با پذیرش آن که آب با نرخ معادل ۶۰ درصد بخار تولیدی به روی صفحه‌ی مشبك منتقل شود نیز نشان داده شده است. در خصوص مقدار آب منتقل شده روی صفحه‌ی مشبك اطلاعی از شرایط عملی در دست نیست. انتقال آب هر قسمت روی صفحه‌ی مشبك به معنای خروج ناخالصی در آن نقطه است و به این ترتیب همانند زیرآب برای آن ناحیه عمل می‌کند. با توجه به این که ناخالصی روی صفحه‌ی مشبك به سبب اختلاط جریان‌های منتقل شده روی صفحه یکسان فرض شده است، بنابراین، با برگشت این جریان‌ها از اطراف صفحه‌ی مشبك به مولد بخار ناخالصی‌های خارج شده از نواحی متفاوت به ترتیب ذکر شده به مولد بخار برگشته و سبب یکنواخت‌تر شدن ناخالصی محلول در حجم مولد بخار می‌شود. هرچه درصد بیشتری از آب هر ناحیه به روی صفحه‌ی مشبك منتقل شود، انتظار می‌رود توزیع ناخالصی در مولد بخار یکنواخت‌تر شود.

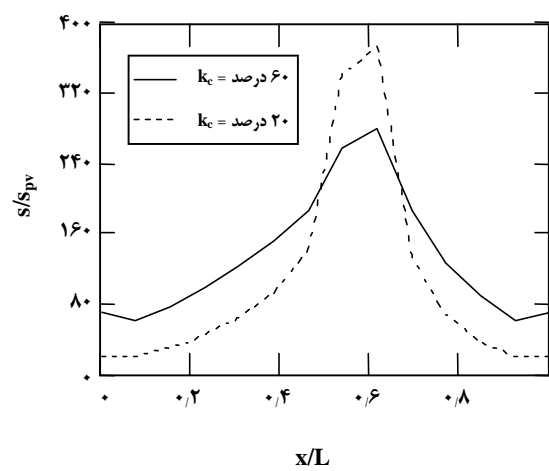
در شکل ۹ محور عمودی ناخالصی محلول نسبت به ناخالصی آب تغذیه و محور افقی موقعیت نسبت به طول مولد بخار است. با توجه به دوبعدی بودن مدل، می‌توان توزیع دوبعدی ناخالصی محلول در مولد بخار ارایه کرد. در شکل ۱۰ توزیع ناخالصی در سطح نشان داده شده است. عدددهای روی منحنی‌ها ناخالصی محلول نسبت به ناخالصی محلول در آب ورودی را نشان می‌دهد. محور عمودی عرض و محور افقی طول مولد بخار را نشان می‌دهد. در شکل ۱۱ در دو مقطع عرضی ۱ و ۲ (شکل ۱) نتیجه‌های حاصل از محاسبه‌های مدل و نتیجه‌های حاصل از آزمایش‌ها [۹] ارایه شده‌اند. همان‌طور که ملاحظه می‌شود، نتیجه‌ی آزمایش‌ها نشان دهنده تفاوت مشابه در ناحیه حداکثر ناخالصی محلول است. ولی در ناحیه کناری نتیجه‌ها تطبیق کمتری را نشان می‌دهند. این موضوع احتمالاً ناشی از غیر دقیق بودن فرض یکنواخت بودن ناخالصی محلول روی صفحه‌ی مشبك و غیر یکنواخت بودن میزان آب برگشته از نواحی کناری به داخل مولد بخار است. با توجه به‌شکل، متوسط خطای حدود ۳۵ درصد حداکثر ناخالصی محلول است.



شکل ۱۲- توزیع ناچالصی محلول، طرح بهینه شده.



شکل ۱۳- نتیجه محاسبه های طرح بهینه شده، عددهای روی منحنی ها نسبت ناچالصی به ناچالصی محلول در آب تغذیه را نشان می دهد.



شکل ۱۴- اثر میزان انتقال آب به روی صفحه مشبک بر ناچالصی.

با توجه به تداوم پژوهشها سیستم بهینه شده آب تغذیه و آب زیرآب در این مولد بخار به کار گرفته شده است به این منظور دو سوم آب تغذیه در نیم گرم مولد بخار و یک سوم در سمت راست آن توزیع می شود و به منظور جلوگیری از اختلاط آب تمیز جریان آب در روی صفحه مشبک به سمت بخش با ناچالصی محلول زیاد بسته شده و محل زیرآب به همین بخش منتقل شده است. نتیجه بهینه یاد شده در مرجع [۱۰] آمده است. توزیع ناچالصی محلول در سیستم بهینه شده و نتیجه محاسبه های مدل ارایه شده در شکل های ۱۲ و ۱۳ ارایه شده است.

در شکل ۱۲ عددهای روی منحنی ها نسبت ناچالصی محلول در یک قسمت را نسبت به ناچالصی محلول در آب تغذیه نشان می دهد.

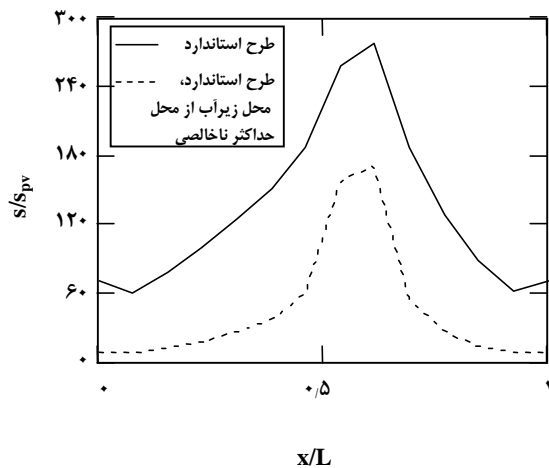
همان طور که از شکل ها مشاهده می شود، توزیع دوسوم آب تغذیه در نیم راست مولد بخار جایی که کلکتور ورودی آب گرم قرار دارد سبب شده تا ناچالصی محلول در این ناحیه کاهش چشم گیر یافته و با جریان طولی ناشی از بالانس جرم به نیمه چپ منتقل شوده جایی که زیرآب در آن ناحیه قرار دارد. میزان حداکثر ناچالصی محلول به دلیل قرار داشتن محل زیرآب در ناحیه حداکثر ناچالصی نسبت به حالت قبل کاهش نشان می دهد. در این حالت متوسط خطای مدل حدود ۱۳ درصد حداکثر ناچالصی محلول در مولد بخار است.

در سیستم بهینه شده حداکثر ناچالصی محلول حدود ۱۶۰ برابر ناچالصی محلول در آب تغذیه و متوسط ناچالصی محلول در مولد بخار برابر ۲۷ برابر ناچالصی موجود در آب تغذیه است که نسبت به طرح استاندارد آب تغذیه و زیرآب کاهش زیادی را نشان می دهد.

بررسی اثر صفحه های مشبک بر توزیع ناچالصی محلول

وجود صفحه های مشبک سوراخ دار برای معادل کردن بار بخار خروجی است. با توجه به انتقال آب مولد بخار به روی صفحه های مشبک و از آنجا انتقال آن از اطراف صفحه های مشبک به حجم مولد بخار ناچالصی محلول موجود در یک ناحیه را به نواحی دیگر منتقل می کند.

با بررسی مدل ارایه شده در دو حالت، یکی با انتقال آب معادل ۶۰ درصد بخار تولیدی در هر ناحیه، و دیگری با انتقال آب معادل ۲۰ درصد بخار تولیدی در هر ناحیه در شکل ۱۴ ارایه شده است. همان طور که ملاحظه می شود، در این حالت بیشترین ناچالصی محلول از ۳۷۰ به ۲۸۰ افزایش یافته ولیکن متوسط ناچالصی



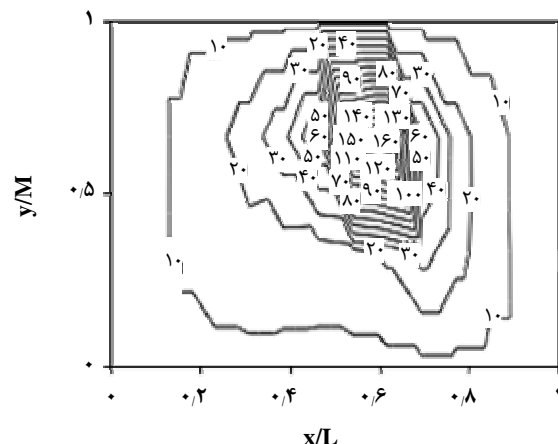
شکل ۱۶- توزیع ناخالصی در طرح استاندارد.

محل تخلیه زیرآب به این نقطه منتقل شده است. نتیجه محاسبه‌ها در مقایسه آن با توزیع ناچالصی محلول در حالت استاندارد در شکل‌های ۱۵ و ۱۶ ارپیه شده است.

همان طور که ملاحظه می شود، برداشت زیرآب از ناحیه حداکثر ناخالصی محلول در مولد بخار اثر بخشی زیرآب را افزایش می دهد، در این حالت حداکثر ناخالصی محلول موجود از حدود ۲۸۰ برابر ناخالصی موجود در آب ورودی (حالت ۱) به ۱۸۰ حالت ۲) و مقدار متوسط ناخالصی محلول از ۹۸ به ۲۳ کاهش یافته است.

بررسی طرح بهینه شده مولد بخار PGV-1000

همان طور که در قبل اشاره شد، در طرح بهینه شده دو سوم آب تغذیه در سمت گرم مولد بخار و یک سوم آن در سمت سرد مولد بخار توزیع شده است و زیرآب به ناحیه با ناخالصی بیشتر که با عدم تقارن یاد شده ایجاد شده، منتقل شده است. حال اثر عدم تقارن بیشتر در توزیع آب تغذیه در مولد بخار مورد بررسی قرار گرفته است. در این حالت کل آب تغذیه به طور یکنواخت در نیمه گرم مولد بخار توزیع شده است (محل زیرآب تغییری نکرده است). نتیجه‌ی محاسبه‌ها در شکل‌های ۱۷ و ۱۸ در مقایسه با طرح بهینه شده [۹] و به صورت دو بعدی ارایه شده است. در محاسبه‌ها، حداقل ناخالصی محلول ۱۶۱ برابر ناخالصی آب تغذیه و مقدار متوسط آن در مولد بخار حدود ۱۰ به دست آمده است.



شکل ۱۵- توزیع ناخالصی در طرح استاندارد، زیرآب از محل حداکثر ناخالصی، عده‌ها روی منحنی ها نسبت ناخالصی به ناخالصی محلول در آب تغذیه را نشان می دهد.

محلول در حجم مولد بخار از ۹۸ به ۵۷ کاهش یافته است. به این ترتیب ملاحظه می‌شود که میزان آب منتقل شده به روی صفحه‌ی مشبک تأثیر قابل توجهی بر توزیع ناخالصی محلول در حجم مولد بخار دارد که البته ضرورت وجودی آن متعادل کردن توزیع بخار در حجم مولد بخار است که می‌تواند متغیرهای آن در پژوهشی مستقل مورد بررسی قرار گیرد.

بررسی اثر بخشی زیرآب

در شرایط پایدار، ناخالصی محلول به طور عمدۀ با آب تغذیه به مولد بخار وارد و به وسیله‌ی آب زیرآب از آن خارج می‌شود (با صرف نظر از رسوپ ایجاد شده و مقدار ناخالصی که همراه با بخار خارج شده است). بالانس یاد شده نشان دهنده ناخالصی موجود در مولد بخار نیست، بلکه نشان دهنده مقدار ناخالصی محلول در محل یا محل‌هایی است که زیرآب از آن محل تخلیه می‌شود. بنابراین، انتظار می‌رود که با انتخاب محل زیرآب در ناحیه حداقل ناخالصی محلول، مقدار ناخالصی محلول در آن نقطه محدود شده (که مقدار آن با بالانس کلی ناخالصی محلول تعیین می‌شود) و ناخالصی محلول در سایر نقاط از ناخالصی در محل تخلیه زیرآب کمتر باشد.

در آثار پژوهشگران در بررسی مدل یک بعدی که به آن اشاره شده است [۱۲] با توجه به طرح استاندارد حداقل ناخالصی محلول در اطراف کلکتور آب گرم دیده می‌شود، به این جهت در بررسی دو بعدی با مشخص یودن مقدار و محل حداقل ناخالصی محلول،

نتیجه گیری نهایی

نتیجه‌های ارایه شده تجربی و نتیجه‌های مدل ارایه شده نشان می‌دهد که مدل پیشنهادی می‌تواند توزیع ناخالصی در طول مولد بخار را با خطای متوسط حدود ۱۳ درصد حداقل ناخالصی محلول در مولد بخار را پیش‌بینی نماید. برای توزیع ناخالصی در عرض مولد بخار خطای بالا حدود ۳۵ درصد حداقل ناخالصی محلول است.

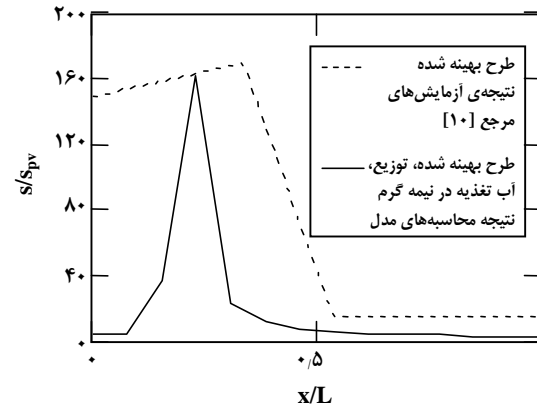
بحث در خصوص سیستم بهینه شده آب تغذیه و آثار جابه‌جاوی محل زیرآب نشان دهنده توانایی مدل در تحلیل نحوه توزیع ناخالصی با تغییر محل زیرآب، جابه‌جاوی و نحوه توزیع آب تغذیه در مولد بخار است. این مدل می‌تواند در تحلیل توزیع ناخالصی محلول با سیستم مشخص آب تغذیه نحوه تولید بخار و نحوه اخذ زیرآب به کار گرفته شده و به این ترتیب قابلیت مناسبی را در پیش‌بینی نحوه بهینه سیستم آب تغذیه و زیرآب فراهم آورد. بر اساس مدل پیشنهادی برخی محاسبه‌ها به عمل آمده در جدول ۲ ارایه شده است.

این محاسبه‌ها نشان می‌دهد که طرح استاندارد از رژیم مناسب آب تغذیه و زیرآب برخوردار نیست. طرح بهینه شده (ردیف ۳) نسبت به طرح استاندارد شرایط بسیار مناسب‌تری دارد. همان‌طور که از جدول ۲ ملاحظه می‌شود، انتخاب محل مناسب‌تر زیرآب می‌تواند به مقدار قابل توجهی متوسط ناخالصی محلول را حتی نسبت به طرح بهینه شده کاهش دهد. در ردیف ۴ نشان داده شده است که هرگاه آب تغذیه فقط در نیم گرم توزیع شود متوسط ناخالصی محلول از مقدار ۴۰ به ۲۲ کاهش خواهد یافت.

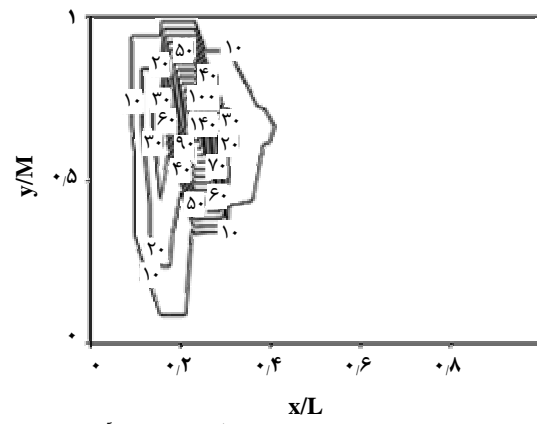
با بررسی‌های به عمل آمده و ارایه شده، نشان داده شده است که این نحو نگرش در بررسی توزیع ناخالصی در شرایط مشابه می‌تواند به عنوان روشی قابل توجه مورد استفاده قرار گیرد.

فهرست علایم

VVER	نوع روسی نیروگاه اتمی با آب تحت فشار
PGV	مولد بخار افقی نیروگاه اتمی
ρ	چگالی (kg m^{-3})
x	متغیر طول (m)
y	متغیر عرض (m)
L	طول مولد بخار (m)
M	عرض مولد بخار (m)



شکل ۱۷- توزیع ناخالصی در طرح بهینه شده.



شکل ۱۸- توزیع ناخالصی در طرح بهینه شده، توزیع آب تغذیه در نیمه گرم مولد بخار، عدددهای روی منحنی ها نسبت ناخالصی به ناخالصی محلول در آب تغذیه را نشان می دهد.

جدول ۲- خلاصه‌ی نتیجه‌های بدست آمده از محاسبه‌های توزیع ناخالصی محلول در مولد بخار PGV-۱۰۰۰

مدل	محل زیرآب	نحو توزیع آب تغذیه	حداکثر ناخالصی S_{av}/S_{pv}	متوسط ناخالصی S_{av}/S_{pv}
طرح استاندارد PGV-1000	از چند نقطه (شکل ۱)	یکنواخت	۹۸	۲۷۰
طرح استاندارد PGV-1000	از ناحیه حداکثر ناخالصی محلول	یکنواخت	۲۲	۱۸۰
مدل بهینه شده PGV-1000	از ناحیه حداکثر ناخالصی محلول	دو سوم در نیمه گرم و یک سوم در نیمه سرد	۴۰	۱۵۲
مدل بهینه شده	از ناحیه حداکثر ناخالصی محلول	تمام آب تغذیه در نیمه گرم به صورت یکنواخت	۲۲	۱۶۰

\dot{m}_{sav}	بخار تولیدی بر واحد سطح ($\text{kgs}^{-1}\text{m}^{-2}$)	v_x	سرعت در جهت x (ms^{-1})
k_c	نسبت دبی جرمی آب منتقل شده	c	شدت چشمی بر واحد حجم (s^{-1})
	روی صفحه مشبك نسبت به دبی بخار تولیدی	φ	تابع جریان (m^3s^{-1})
k	ضریب حلالیت ناخالصی در بخار	\dot{m}_{pv}	دبی جرمی آب تغذیه ($\text{kgs}^{-1}\text{m}^{-2}$)
s	ناخالصی در مولد بخار (mgkg^{-1})	\dot{m}_v	دبی جرمی بخار ($\text{kgs}^{-1}\text{m}^{-2}$)
s_{pv}	ناخالصی آب تغذیه (mgkg^{-1})	ω	رطوبت بخار
s_{av}	متوسط ناخالصی در صفحه مشبك (mgkg^{-1})	\dot{m}_p	دبی جرمی زیرآب ($\text{kgs}^{-1}\text{m}^{-2}$)
s_p	ناخالصی محلول در بلوداون (mgkg^{-1})	\dot{m}_r	دبی جرمی رسوب ($\text{kgs}^{-1}\text{m}^{-2}$)
		\dot{m}_{av}	دبی جرمی روی صفحه مشبك ($\text{kgs}^{-1}\text{m}^{-2}$)
		\dot{m}_w	دبی جرمی عبوری در هر مقطع از کانال ($\text{kgs}^{-1}\text{m}^{-1}$)
		\dot{m}_s	بخار تولیدی بر واحد سطح ($\text{kgs}^{-1}\text{m}^{-2}$)

تاریخ دریافت: ۱۷/۱۱/۸۵؛ تاریخ پذیرش: ۱۰/۲/۸۶

مراجع

- [1] Romm, E.I., Chemical Displacement and Staged Evaporation in Steam Generators, Doctorate Thesis, All-Russia Thermal Engineering Institute (VTI), p. 175 (1938).
- [2] Стыркович М.А. ,О применении ступенчатого испарения при кипении котлов конденсатом. Электрические станции, С 75 (1951).
- [3] Жирнов Н. И.,К от А.А. Непрерывная из котлов лысого давления. Электрические станции, . № 2, С. 23-27 (1965).
- [4] Марголова Т. Х. Реконструкция котлов леффлева для перевода их на ступенчатое испарение. Тр. Ин-та / МЭИ – 1955 – Вып. 25. С. 133-143
- [5] Горбунов В. И., Эорин В. М., Хриトンов, Ю. В., О контроле водного режима парогенерирующих устройств. Теплоэнергетика, № 7, С. 25 (1994).
- [6] Сиряпина Л. А. , Маргулова Т. Х., Повышение эффективности продувки парогенераторов АЭС с ВВЭР. Теплоэнергетика. № 6, С. 59-60 (1984).
- [7] Гуцев Д. Ф. , Козов Ю. В., Некрасов А. В., Титов В. Ф., Тараконов Г. А., О концентрации растворимых примесей в водяном объеме парогенератора ПГВ-1000. Теплоэнергетика -№ 12, С. 62-63 (1987).
- [8] Слтников А. Ф. Эффективность продувки парогенераторов ПГВ-1000. Теплоэнергетика, С. 66-67 (1988).
- [9] Козлов Ю. В., Румянцев Л.К., Свистонов П. Е., Севастьянов, В. П. И др., Распределение растворимых примесей питательной воды в водяном объеме парогенератора ПГВ-1000 Электрические станции. - № 2, С, 33-37 (1992).
- [10] Козлов Ю. В. ,Свистонов П. Е., Траканов Г. А. И др., Исследование распределения солей в водяном объеме парогенераторов ПГВ-1000М с модернизированными системами раздачи питательной воды и продувки. Электрические станции. № 9, С. 30-32 (1991).

- [11] Gorburov, V.I., Zorin, V.M., Khritonov, U.V., Distribution Soluble Impurities in Water Volume of the Steam Generating Equipment, *Vestnik MPEI*, **3**, p. 41-50 (1996).
- [12] Gorburov, V.I., Zorin V.M., Doctors, Kaverznev M.M., Khaaneki, M., Engineers Moscow Power Engineering Institute (MPEI), Staged Evaporation in Steam-Generating Units, *Thermal Engineering*, **3**, p. 55 (1997).
- [13] В.А. Григорьев, В. М. Зорин, "Тепловые и атомные электрические станции", М. Энергоиздат, С625 (1982).
- [۱۴] هولمن جی.پی؛ ترجمه افضلی، محمدرضا؛ "انتقال گرمای"، مرکز نشر دانشگاهی (۱۳۷۸).